

226) Suites vectorielles et réelles définies par une relation de récurrence $u_{n+1} = f(u_n)$. Exemples. Applications à la résolution approchée d'équations

On note $(E, \|\cdot\|)$ un espace vectoriel normé sur le corps \mathbb{K} ($= \mathbb{R}$ ou \mathbb{C})

I) Définitions et premières propriétés:

a) Dépendance vis-à-vis de f :

DÉF₁: Soit $R \in \mathbb{N}^*$. Une suite $(u_n)_n$ à valeurs dans E est dite récursive d'ordre R lorsque : $\forall n \geq R$, $u_n = f(u_{n-1}, \dots, u_{n-R})$, où $f: E^R \rightarrow E$

• Continuité de f: On suppose f continue.

PROP₂: Soit $R \in \mathbb{N}^*$, $(u_n)_n$ une suite récurrente d'ordre R, définie par : $\forall n \geq R$, $u_n = f(u_{n-1}, \dots, u_{n-R})$. Si $(u_n)_n$ converge vers $P \in E$, alors $P = f(P, \dots, P)$

Ex3: On définit $u_0 = 1$, $u_{n+1} = u_n^2 - u_n - 3$. Si $(u_n)_n$ converge, sa limite est un point fixe de $[x \mapsto x^2 - x - 3]$, donc est -1 ou 3.

• Monotonie de f: On suppose $f: I \rightarrow \mathbb{R}$ où $I \subseteq \mathbb{R}$ intervalle, avec $f'(I) \subseteq I$.

PROP₃: Soit $(u_n)_n$ définie par $u_{n+1} = f(u_n)$; $u_0 \in I$ donné.

• Si f est croissante sur I , $(u_n)_n$ est monotone de sens donné par le signe de $u_{i+1} - u_i$.

• Si f est décroissante sur I , $f \circ f$ est croissante, donc $(u_n)_n$ et $(u_{n+1})_n$ sont monotones de sens de monotonie opposé.

REM₅: Les développements limités ou équivalents de f au voisinage de P , limite de $(u_n)_n$, peuvent donner des informations sur la vitesse de convergence de $(u_n)_n$.

APPLiG: Étude de la suite $\{u_n \in \mathbb{R}; \frac{u_n}{n} \}$. On obtient un équivalent et un $u_n = \left(\frac{3}{n} + 3 \cdot \frac{\ln(n)}{n} + o\left(\frac{\ln(n)}{n}\right) \right)$ D'où de la suite grâce à l'étude de $\sin \frac{x}{n}$

DÉF₇: (Vitesse de convergence). Soit $(u_n)_n$ suite convergant vers 0

* $(u_n)_n$ converge géométriquement vers 0 lorsque elle est dominée par $(P^n)_n$, avec $0 < p < 1$.

* $(u_n)_n$ converge lentement si il existe $A > 0, \alpha > 0$ telle que $u_n \leq \frac{A}{n^\alpha}$

* $(u_n)_n$ converge (au moins) de manière quadratique. Parce qu'elle est dominée par $(P^{2^n})_n$, où $0 < p < 1$

* $(u_n)_n$ a une convergence d'ordre $r > 1$ lorsque elle est dominée par $(P^n)_n$, où $0 < p < 1$

REM₇: Pour toute suite $(u_n)_n$ qui tend vers 0, avec $u_{n+1} = f(u_n)$ où $f(x) = x - Ax^k + o(x^k)$; $(A \geq 0)$ on obtient un équivalent de $(u_n)_n$ en calculant un équivalent de $u_{n+1} - u_n - Ax^{k+1}$; Ex: $u_n = u_0 e^{u_0}$ [EPAM] p.77

B) Suites récurrentes classiques: On note $(u_n)_n$ suite à valeurs dans E avec $u_{n+1} = f(u_n)$

Suites arithmético-géométriques:

DÉF₈: $(u_n)_n$ est arithmétique lorsque f est de la forme $f(x) = ax + r$, $a \in E$ de raison a .
(u_n)_n est géométrique lorsque $f: x \mapsto qx$, où $q \in \mathbb{K}$
(u_n)_n est arithmético-géométrique lorsque $f: x \mapsto qx + r$, $q \in \mathbb{K}$, $r \in E$.

PROP₉: Si $(u_n)_n$ arithmétique de raison r , $\forall n \in \mathbb{N}$, $u_n = u_0 + nr$

• Si $(u_n)_n$ géométrique de raison q , $\forall n \in \mathbb{N}$, $u_n = q^nu_0$.

• Si $(u_n)_n$ est arithmético-géométrique : $u_{n+1} = qu_n + r$ avec $q \neq 1$, $\forall n \in \mathbb{N}$, $u_n = u_0 q^n + r \frac{q^n - 1}{q - 1}$

Suites homographiques: $(u_n)_n$ est dite à récurrence homographique lorsque $f: \mathbb{K} \rightarrow \mathbb{K}$

est de la forme $f(x) = \frac{ax+b}{cx+d}$, $c \neq 0$ et $ad - bc \neq 0$. La suite est définie lorsque $\forall n \in \mathbb{N}$, $c u_{n+1} + d = 0$. On note $P = cx^2 - (a-d)x - b \in \mathbb{K}[x]$.

• Si P a 2 racines distinctes α, β , alors $\forall n \in \mathbb{N}$, $\frac{u_{n+1} - \alpha}{u_n - \beta} = \frac{q^n \frac{u_n - \alpha}{u_0 - \beta}}{u_0 - \beta}$ où $q = \frac{\alpha - \alpha}{\alpha - \beta}$

• Si P a une racine double α , $\forall n \in \mathbb{N}$, $\frac{u_{n+1}}{u_n - \alpha} = \frac{1}{u_0 - \alpha} + kn$, où $k = \frac{c}{\alpha - \alpha}$.

Suite récurrente linéaire à coefficients constants: Soit $(u_n)_n$ suite complexe récurrente linéaire d'ordre R: $\forall n \geq R$, $u_n = \sum_{i=1}^R a_i u_{n-i}$, $(u_n)_n \subseteq \mathbb{C}$

On pose $P = X^R - \sum_{i=1}^R a_i X^{R-i}$ le polynôme caractéristique associé à $(u_n)_n$

Notons $\lambda_1, \dots, \lambda_R$ ses racines et $\alpha_1, \dots, \alpha_R$ leur ordre de multiplicité.

Notons l'ensemble des suites vérifiant la relation Θ (même relation que $(u_n)_n$) est

$$\left\{ (p_0(n)u_0 + \dots + p_R(n)u_R) \mid P_i \text{ polynôme de degré } < \alpha_i \right\}$$

APPLiG₁₂: Si $\forall n \geq 2$, $u_n = a u_{n-1} + b u_{n-2}$, avec $(u_0, u_1) \in \mathbb{R}^2$, $(a, b) \in \mathbb{R}^2$, $P = X^2 - aX - b$

↳ Si $\Delta p > 0$, P a 2 racines x_1, x_2 ; et $\forall n \in \mathbb{N}$, $u_n = \lambda x_1^n + \mu x_2^n$ où $u_0 = \lambda + \mu$, $u_1 = \lambda x_1 + \mu x_2$

• Si $\Delta p = 0$, P a 1 racine double α , $\forall n \in \mathbb{N}$, $u_n = (\lambda n + \mu) \alpha^n$, $(\lambda, \mu) \in \mathbb{R}^2$

• Si $\Delta p < 0$, P a 2 racines complexes $\rho e^{i\theta}, \bar{\rho} e^{-i\theta}$, $\forall n \in \mathbb{N}$, $u_n = \rho^n (\lambda \cos(n\theta) + \mu \sin(n\theta))$, $(\lambda, \mu) \in \mathbb{R}^2$

Ex2: Suite Fibonacci [EPAM] p.47

REM₁₃: Toute suite récurrente linéaire d'ordre R peut être vu comme une suite vectorielle: si $\forall n \geq R$, $u_n = a_1 u_{n-1} + \dots + a_R u_{n-R}$ on pose

$X_n = \begin{pmatrix} u_n \\ u_{n-1} \\ \vdots \\ u_{n-R} \end{pmatrix}$, $A = \begin{pmatrix} 0 & 1 & 0 & \dots & 0 \\ 0 & 0 & 1 & \dots & 0 \\ \vdots & \vdots & \vdots & \ddots & \vdots \\ 0 & 0 & 0 & \dots & 0 \\ a_1 & a_2 & a_3 & \dots & a_R \end{pmatrix}$. Et on a $X_{n+1} = AX_n$. Par récurrence, $\forall n \in \mathbb{N}$, $X_n = A^n X_0$

Ex₁₀: $\forall n \geq 0$, $u_{n+1} = \frac{5u_n + 1}{u_n + 4}$, $u_0 \neq 0$, $\forall n \in \mathbb{N}$, $u_n = \frac{2 + 3(\frac{7}{2})^n \times u_0 + 2}{4 - (\frac{7}{2})^n u_0 + 2}$

↳ Pour $u_{n+2} = a u_{n+1} + b u_n$, $\forall n \geq 0$.
 $X_n = \begin{pmatrix} u_n \\ u_{n-1} \end{pmatrix}$, $X_{n+1} = \begin{pmatrix} a & 1 \\ b & a \end{pmatrix} X_n$. Selon les valeurs de (a, b) on peut réduire $A = \begin{pmatrix} c & 1 \\ b & a \end{pmatrix}$ pour avoir la forme de $(u_n)_n$ donnée en [12]

II) Points fixes et conséquences

A) Théorème du point fixe:

DÉF₁₄: $\Psi: E \rightarrow E$ est dite contractante lorsqu'il existe $R < 1$ tq: $\forall x, y \in E, \|\Psi(x) - \Psi(y)\| \leq R \|x - y\|$.

REM₁₅: En particulier, Ψ est continue sur E .

THM₁₆: Soit $\Psi: E \rightarrow E$ contractante, avec E complet. Alors Ψ admet un unique point fixe $a \in E$. Et $\forall x_0 \in E$, la suite $(x_p)_p$ définie par $x_{p+1} = \Psi(x_p)$ converge vers a .

REM₁₇: On a une information sur la vitesse de convergence: $\forall p \in \mathbb{N}, \|x_p - a\| \leq R \|x_0 - a\|$

• Le théorème reste vrai si on a seulement: Ψ continue et $\exists m \in \mathbb{N}, \Psi^m = \Psi_{m+1}$ est contractante

• Toutes les hypothèses du théorème sont importantes.

Ex₁₈: $F: [0, 1] \mapsto \frac{x}{2}$ est contractante de $[0, 1]$ dans lui-même, mais sans point fixe ($[0, 1]$ non complet)

• $F: x \in \mathbb{R} \mapsto \frac{x^2+1}{2} \in \mathbb{R}$ est sans point fixe avec $\forall x, y \in \mathbb{R}, x+y \Rightarrow |F(x) - F(y)| < |x-y|$

• $F: x \in [0, \frac{\pi}{2}] \mapsto \sin(x) \in [0, \frac{\pi}{2}]$ admet un point fixe unique, or F non contractante

REM₁₉: Ce théorème est très utile pour la résolution d'équations à l'aide d'itérations: Pour résoudre $f(x) = 0$, $f: [a, b] \rightarrow \mathbb{R}$ dérivable avec $f'(a) < f'(b)$ et $f' > 0$. On pose $\Psi(x) = x - \frac{f(x)}{f'(x)}$ et si $f'(x) \neq 0$. Alors $f'(x) = 0 \Leftrightarrow \Psi(x) = x$ et si $C = \frac{1}{2} \frac{f''(a)}{f'(a)^2} < 1$, Ψ vérifie les hypothèses du THM₁₆ et la suite: $x_0 \in [a, b], x_{p+1} = \Psi(x_p)$ converge vers $\frac{f'(a)}{f''(a)} \in [a, b]$.

B) Classification des points fixes: (dans \mathbb{R})

Soit $I \subseteq \mathbb{R}$ intervalle ouvert de \mathbb{R} , $F: I \rightarrow \mathbb{R}$ de classe C^1 , $a \in I$ point fixe de F . On étudie la suite $(x_n)_n$ tq $x_{n+1} = F(x_n)$.

PROP₂₀: * Si $|F'(a)| < 1$, $\exists h > 0$ tq $J = [a-h, a+h]$ stable par F , et $\forall x \in J, (x_n)_n \in J$ et $x_n \rightarrow a$. On a: $\exists \alpha < 1$ tq $\forall n \in \mathbb{N}, |x_{n+1} - a| \leq \alpha |x_n - a|$. On dit que a est attractif.

C'est une convergence géométrique.

* Si F est C^2 , $F'(a) = 0$ avec F'' ne s'annule pas sur J (du cas attractif), on a:

$x_0 \in J, x_0 \neq a \Rightarrow \forall n \in \mathbb{N}, x_{n+1} \neq a$ et $x_{n+1} - a \sim \frac{F''(a)}{2} (x_n - a)^2$. On dit que a est superattractif

C'est une convergence quadratique.

* Si $|F'(a)| > 1$, $\exists h > 0$ tq $J = [a-h, a+h] \subset I$. $x_0 \neq a \Rightarrow (x_n)_n \notin J$, donc la suite n'est éloignée de a . On dit que a est répulsif

REM₂₁: En annexe on peut voir un graphique représentant les cas.

• Le cas $|F'(a)| = 1$ est particulier: si $F(x) = 1-x$, on a $\forall n \in \mathbb{N}, x_{n+1} = \frac{x_n}{1-x_n}$ donc un point fixe peut être attractif ni répulsif

si $F(x) = \sin(x)$, la suite $(x_n)_n$ converge

vers le point fixe 0 lentement.

Ex₂₂: L'nombre d'or $\phi = \frac{1+\sqrt{5}}{2}$ est l'unique point fixe positif de $F(x) = \phi + \frac{1}{\phi}$ et $|F'(x)| \leq \frac{1}{2}$ sur $J = [\phi, \phi + \frac{1}{\phi}]$ donc il est attractif pour

$F(x) = \sinh x$, comme $\sinh x > x, \forall x > 0$, le pt fixe 0 est répulsif.

III) Application à la résolution approchée d'équations du type $f(x) = 0$

a) Méthode de Newton

DÉF₁₄: On considère $f: [c; d] \rightarrow \mathbb{R}$, de classe C^2 admettant un 0 dans $[c; d]$ et pour trouver le point a tel que $f(a) = 0$, l'idée est de partir d'un $x_0 \in [c; d]$ et approcher a par le point d'intersection de la tangente de f en x_0 et de l'axe des abscisses, puis de réitérer.

Cela revient à poser $\Psi(x) = x - \frac{f(x)}{f'(x)}$, $x_{n+1} = \Psi(x_n)$, $\forall n \in \mathbb{N}$. Alors $f(\bar{a}) = 0$ si \bar{a} est un point superattractif de Ψ .

Voici le théorème suivant: Ordre de convergence de $(x_n)_n$:

THM₂₃: $f: [c; d] \rightarrow \mathbb{R}$, C^2 avec $f(c) < 0 < f(d)$, $f' > 0$ sur $[c; d]$, $x_{n+1} = \Psi(x_n)$.

Alors: $\exists \alpha < 1$, $\exists \lambda > 0$ tq $I = [a-\lambda, a+\lambda]$ soit stable par Ψ , et telle que si $x_0 \in I$, $(x_n)_n$ converge vers a de manière quadratique $\Rightarrow |x_{n+1} - a| \leq \alpha |x_n - a|$.

• Si de plus, $f'' > 0$ sur $[c; d]$ le résultat précédent est valable pour $I = [a, d]$, $(x_n)_n$ est strictement décroissante et il existe $C > 0$ tel que $0 \leq x_{n+1} - a \leq C(x_n - a)^2$ et $x_{n+1} - a \sim \frac{1}{2} \frac{f''(a)}{f'(a)} (x_n - a)^2$

REM₂₄: Le 1^{er} point du théorème est un résultat local, il faut être proche de a pour s'approcher quadratiquement. Alors que dans le 2nd point, on suppose f convexe, la convergence est alors quadratique si $x_0 > a$.

On retrouve la méthode de la remorque 15.

Ex₂₅: On peut approcher le nombre d'or, à zéro de $f(x) = x^2 - x - 1$ en posant $\Psi(x) = (x^2 + 1) / (2x - 1)$ (cf figure Annexe)

REM₂₆: La méthode de Newton peut se généraliser dans \mathbb{R}^n :

DÉF₁₄: On considère $f: \Omega \subseteq \mathbb{R}^n \rightarrow \mathbb{R}^n$ de classe C^2 , à un zéro de f tel que $df(a) \in \mathcal{L}(\mathbb{R}^n, \mathbb{R}^n)$ est inversible (et même $df(a)$ inversible sur un voisinage de a)

THM₂₇ (Newton-Raphson): Dans les conditions précédentes, on pose $\Psi(x) = x - df(x)^{-1} f(x)$. Alors a est un point fixe superattractif de Ψ . ($d\Psi(a) = 0$)

$f(x) = x - df(x)^{-1} f(x)$. Alors a est un point fixe superattractif de Ψ . ($d\Psi(a) = 0$)

Donc $(x_n)_n$ définie par $x_{n+1} = x_n - df(x_n)^{-1} f(x_n)$, $\forall n \geq 0$, converge vers a

B) Méthode de la sécante (dans \mathbb{R})

Lorsque la dérivée de f est difficile ou impossible à calculer, on ne peut pas appliquer la méthode Newton. On peut alors remplacer f' par un taux d'accroissement de f sur un petit intervalle. Un inconvénient est lorsque x_p et x_{p+1} sont trop proches le calcul de ce taux d'accroissement perd sa précision.

• Suite $x_n \in J, x_{n+1} = F(x_n)$

DEM
p. 103

Méthode 22: Pour $f: [c; d] \rightarrow \mathbb{R}$, admettant un zéro : $a \in [c; d]$.
 Si on dispose de 2 points $x_0, x_1 \in [c; d]$, on pose $T_1 = \frac{f(x_1) - f(x_0)}{x_1 - x_0}$.
 L'intersection entre la droite $y=0$ et la sécante traversant x_0, x_1 est $x = x_1 - \frac{f(x_1)}{T_1}$.
 On itère : $\forall n \in \mathbb{N}^*$, on pose $T_n = \frac{f(x_n) - f(x_{n-1})}{x_n - x_{n-1}}$ et $x_{n+1} = x_n - \frac{f(x_n)}{T_n}$.
 La convergence de $(x_n)_n$ est assurée par le théorème.

THM 23: f de classe C^2 , tq $f' \neq 0$ sur un voisinage : $I = [a-r; a+r]$.

On pose : $M_1 = \max_{x \in I} |f'(x)|$, $M_2 = \max_I |f''(x)|$, $K = \frac{M_2}{2m_1} \left(1 + \frac{M_1}{m_1}\right)$,
 $m_1 = \min_{x \in I} |f'(x)|$, $M_2 = \max_I |f''(x)|$, $R = \min\{r, \frac{1}{K}\}$

Soit $(s_n)_n$ suite de Fibonacci : $s_0 = s_1 = 1$

$$s_{n+1} = s_n + s_{n-1}$$

Prop: $\forall x_0, x_1 \in [x_0 - h; x_0 + h]$, distincts, $|x_n - a| \leq \frac{1}{K} (K \max\{|x_0 - a|, |x_1 - a|\})^{s_n}$

REH 30: On peut vérifier que $s_n \sim \frac{1}{\sqrt{5}} \left(\frac{1+\sqrt{5}}{2}\right)^{n+1}$, donc le nombre de décimale exacte croît environ d'un facteur $\frac{1+\sqrt{5}}{2} \approx 1,618$ à chaque itération.

C) Méthode pour résolution de systèmes linéaires:

Soit $A \in \text{GL}_n(\mathbb{K})$, $b \in \mathbb{K}^n$, on souhaite résoudre $AX+b=0$ sans inverser A .

METHODE 31: On écrit $A = M - N$, $H \in \text{GL}_n(\mathbb{K})$ et on pose : $\begin{cases} x_0 \in \mathbb{R}^n \text{ donné} \\ x_{n+1} = H^{-1}N x_n + H^{-1}b \end{cases} \quad \forall n \geq 1$

PROP 32: Cette méthode converge vers la solution, $\forall x \in \mathbb{R}^n$ si et seulement si le rayon spectral de $H^{-1}N$ est < 1 (rayon spectral = max des valeurs propres)

Le choix de (M, N) définit différentes méthodes, selon la matrice que l'on préfère ou non selon la matrice A .

Général

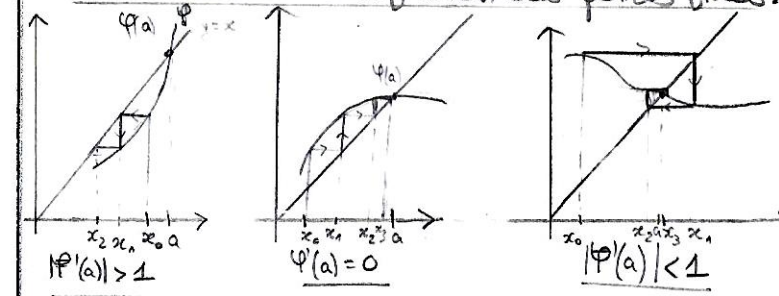
Voici un tableau représentant des méthodes classiques :

Si on écrit $A = (a_{ij})$, $D = \text{Diag}(a_{ii}, i \in \mathbb{N}; n)$, E la matrice triangulaire supérieure stricte appartenant dans A ; F celle inférieure stricte.
 $A = \begin{pmatrix} D & E \\ F & 0 \end{pmatrix}$

Nom de la méthode	M	N	Condition d'existence
Jacobi	D	-A+E	D inversible
Gauss-Seidel	D-E	F	D inversible (alors D-E inversible car triangulaire)
Relaxation (SOR), $w \in \mathbb{R}^n_+$	$\frac{D}{w} - E$	$\frac{1-w}{w} D + F$	D inversible
Gradient $\nabla \in \mathbb{R}^n$	$\frac{1}{\alpha} Id$	$(\frac{1}{\alpha} Id - A)$	

Annexe :

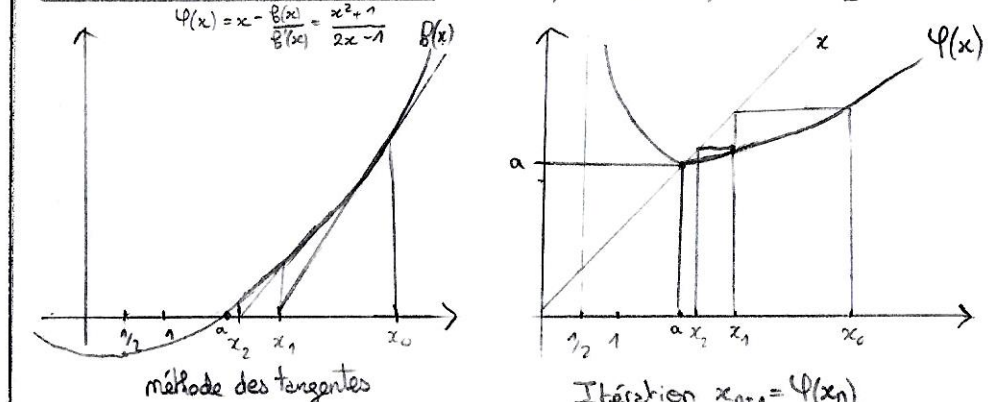
Illustration de la classification des points fixes: (Figure 1)



ici comme $\phi'(a) < 0$ on a un "escargot",
 si $\phi'(a) > 0$ on aura un exévier

(Figure 2.) Illustration de la méthode

de Newton sur $f(x) = x^2 - x - 1$, ($f(a) = 0$, a nomme d'or) $I = [1; 2]$



[ALL]

[ROU]

+ [DEM]

[ROU]

p 143

Réf:

[GOU]: Gourdon Analyse, Les maths en tête

[DEM]: Demaillly, Analyse numérique et équations
differentielles

[ROU]: Rouvière, Le petit guide
du calcul différentiel

[ALL]: Allaire, Analyse numérique et optimisation.